

اولویت‌بندی مناطق موثر بر دبی اوج سیلاب با استفاده از مدل هیدرولوژیک HEC-HMS در حوزه آبخیز سد شیخ بهایی

مسعود نصری^۱، فرشاد سلیمانی ساردو^۲

تاریخ دریافت: ۸۹/۱۲/۱ تاریخ پذیرش:

چکیده

سیل یکی از پدیده‌های مخرب طبیعی است که خسارات گاماً جبران‌نپذیری را به اکوسیستم‌های طبیعی و غیرطبیعی وارد می‌کند. روند افزایش تعداد و شدت سیل و خسارات جانی و مالی که به بار می‌آورد موجب افزایش مطالعات به صورت منطقه‌ای در نقاط مختلف در این‌باره شده است. شبیه‌سازی رفتار آبشناسی حوزه‌های آبخیز به‌منظور مقابله با خطرات سیلاب امری واجب است و در این راستا مطالعه حاضر در حوزه آبخیز سد شیخ بهایی در شهرستان کاشان استان اصفهان به‌منظور اولویت‌بندی مناطق موثر بر دبی اوج سیلاب یا به عبارتی مشخص نمودن مناطقی که دارای بالاترین پتانسیل سیل‌خیزی هستند صورت گرفته است. در این ارتباط، از مدل هیدرولوژیک HEC-HMS جهت شبیه‌سازی جریان در واحدهای هیدرولوژیک منطقه استفاده شده است نتایج نشان داد مناطقی که در نزدیکی نقطه خروجی حوضه قرار دارند بیشترین نقش را در تولید سیل داشته و باقیستی در اولویت اول فعالیت‌های آبخیزداری قرار گیرند. نتایج بدست آمده می‌تواند کمک شایانی به سیستم پایش منطقه نماید.

واژه‌های کلیدی: رواناب، دبی اوج سیلاب، مدل هیدرولوژیک HEC-HMS، سد شیخ بهایی

۱- عضو هیات علمی دانشگاه آزاد اسلامی واحد اردستان m_nasri@ iauard.ac.ir

۲- عضو هیات علمی دانشگاه جیرفت fsolaimani@ gmail.com

مقدمه

و سیستم اطلاعات جغرافیایی در ترکیب با مدل‌های بارش رواناب مناسب، ابزاری ایده‌آل جهت برآورد حجم رواناب، دبی اوج و هیدروگراف می‌باشد. میلورادف و مارجانویک^۱ (1991)، دمايو و استیل^۲ (1996)، بلات و همکاران^۳ (1996).

از کاربردی‌ترین مدل‌های بارش رواناب مدل HEC-HMS می‌باشد. مدل HEC (1998) برای برآورد و شبیه‌سازی واقعه بارش رواناب انتخاب شده است. مطالعاتی که توسط برخی محققین انجام شده‌است از میانگین ضریب-تغییرات سری‌های سیلاب‌های حداکثر سالانه به عنوان شاخصی برای تعیین شرایط سیل خیزی هر منطقه یا هر کشور استفاده شده‌است [5]. جهان‌تیغ مقدم (1378) سامانه شبیه آبشناسی HMS را به عنوان شبیه آبشناسی مناسب برای حوضه کرو و سیوند در استان فارس ارایه نمود و به این نتیجه رسید که شبیه‌های مبتنی بر اصول-هیدرولیک دارای قابلیت‌های بیشتر در زمینه پیش‌بینی رواناب هستند. خسروشاهی (1380) به منظور تعیین نقش زیرحوزه‌های آبخیز در شدت سیل خیزی حوضه دماوند، در پژوهشی از شبیه‌آبشناسی HEC-HMS استفاده کرد. پوررضا و همکاران (1386) با استفاده از مدل‌های هیدرولیک و نرم افزار ArcView از طریق الحاقیه HEC-GEOHMS به برآورد و پنهان-بندی سیلاب در قسمتی از رودخانه قره آگاج در استان فارس پرداخته‌اند [1].

¹ Miloradov and Marjanovic

² Demayo and Steel

³ Bellat et al

سطح وسیعی از کشور تحت تأثیر طغیان آب رودخانه‌ها و جاری شدن سیلاب قرار دارد و در اثر آن تأسیسات عمرانی، امکانات ارتباطی، زمین‌های کشاورزی، شهرها و روستاهای تخریب می‌گردد. استفاده بی‌رویه از منابع طبیعی و تخریب آن افزون بر اقلیم خشک و نیمه‌خشک حاکم بر کشور موجب گردیده تا سیلاب‌ها، چه از نظر-تعداد دفعات و چه از نظر شدت خسارات، افزایش چشم‌گیری داشته باشد. این امر کشور ایران را در رتبه هفتم سیل خیزی دنیا قرار داده-است [7]. دخالت انسان در چرخه‌طبیعی آب از طریق تخریب پوشش گیاهی در عرصه‌های-آبخیز، کاربری غیراصولی اراضی، توسعه سطوح غیرقابل نفوذ و امثال آن، احتمال سیل خیزی را در مناطق گوناگون افزایش داده‌است. در تحقیقات و پژوهش‌های مرتبط با سیل خیزی و تعیین مناطق سیل خیز در نقاط مختلف دنیا روش واحدی به-کار گرفته نشده‌است. روش‌هایی که برای تعیین مناطق سیل خیز استفاده شده بیشتر برپایه فرمول-های تجربی، تحلیل‌آماری داده‌های سیلاب، استفاده از داده‌های سنجش از دور و GIS و مدل‌های ریاضی رایانه‌ای بارش- رواناب بوده و عمده‌اً از دیدگاه تولید سیل در سطح حوضه‌ها به-صورت یکپارچه استفاده شده‌است [2,5]. رواناب یکی از مهمترین متغیرهای هیدرولوژیک است که در مطالعات منابع آب مورد استفاده قرار می‌گیرد. به منظور پیش‌بینی رواناب در مناطق فاقد آمار، مدل‌های تعریف شده همگی نیازمند داده‌های هیدرولوژیک و هواشناسی هستند. سنجش از دور

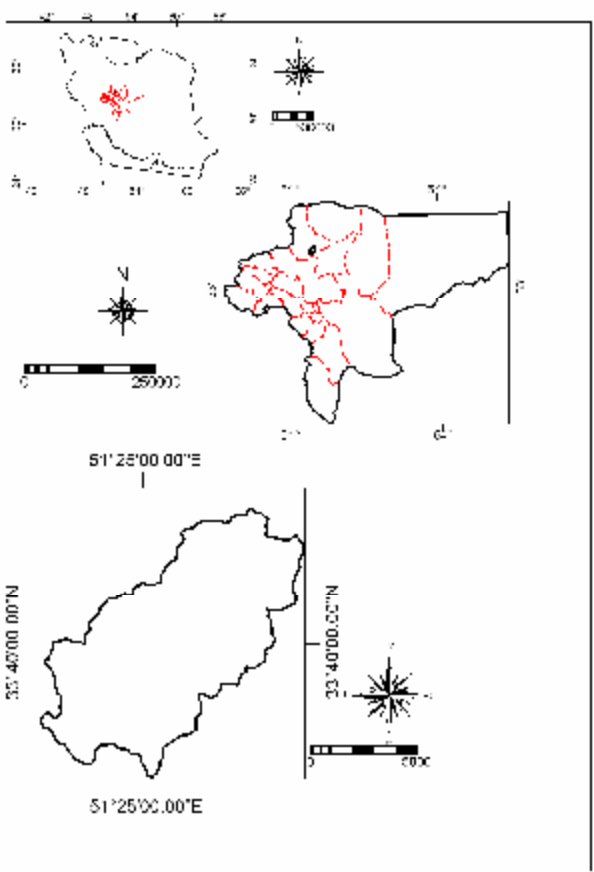
داده و روش‌ها

- موقعیت جغرافیایی منطقه مورد مطالعه
 از نظر تقسیمات سیاسی، حوزه آبخیز سد شیخ بهایی در استان اصفهان، شهرستان کاشان، بخش قمر و دهستان قهروود واقع شده‌است. حوزه آبخیز سد شیخ بهایی با مساحت ۵/۸۰۶۴ هکتار در محدوده $34^{\circ} 14' 36''$ تا $33^{\circ} 36' 33''$ عرض شمالی و $52^{\circ} 22' 52''$ تا $51^{\circ} 21' 44''$ طول شرقی قرار دارد. سد شیخ بهایی در ۴۰ کیلومتری جنوب کاشان و ۵ کیلومتری شمال شرق و پایین‌دست جوینان بر روی رودخانه قهروود احداث گردیده‌است. این سد در سال ۱۰۱۰ هجری قمری به‌دستور شیخ بهایی بنا گردیده و هدف آن ذخیره نمودن آب و استفاده از آن در موقع کم‌آبی بوده و چون قبل از سال ۱۳۵۵ استصحاب آب زیرزمینی از طریق حفر چاه و پمپاژ متداول نبوده است. تنها راه بهره‌برداری از آب مازاد روش ذخیره‌سازی در مخزن سد بوده‌است. پس از احداث، به دفعات، سیل‌های عظیمی به‌وقوع پیوسته و موجب پرشدن مرحله‌ای مخزن سد گردیده‌است.

حوضه مورد مطالعه با توجه به قرارگیری به صورت شمالی-جنوبي به گونه‌ای است که ارتفاعات دورتا دور آن را احاطه کرده‌است. حداقل و حداقل بارندگی سالیانه در این محدوده به ترتیب حدود ۲۲۸/۱ و ۱۹۹/۲ میلی‌متر در سال می‌باشد و متوسط بارندگی سالیانه ۲۰۹/۲ میلی-متر است. درجه حرارت متوسط سالیانه ۱۰/۲ درجه سانتی‌گراد و حداقل مطلق آن ۳۰/۷ درجه سانتی‌گراد می‌باشد (شکل ۱).

برای تهیه نقشه خطر سیل درکشور بنگلادش از داده‌های ماهواره‌ای NOAA-AVHRR و سیستم اطلاعات جغرافیایی استفاده شده‌است [2]. اسلام و سادو (۲۰۰۰)^۱ با استفاده از داده‌های ماهواره‌ای و کاربرد GIS نقشه خطر سیل را برای کشور بنگلادش تهیه کردند [13]. برای پهنه‌بندی حوزه آبخیز گاوه رود از نظر پتانسیل سیل خیزی در جنوب استان کردستان از سیستم اطلاعات جغرافیایی به عنوان پایگاه داده‌ها و از تصاویر سنجنده TM ماهواره لندست استفاده گردیده است [10]. مطالعات انجام شده در داخل کشور بیشتر به تعیین سیل خیزی زیرحوضه‌های گوناگون با استفاده از شبیه‌های آبشناسی و پهنه‌بندی سیلاب با استفاده از شبیه‌های هیدرولیک پرداخته‌اند که مطالعات شقایی فلاخ (۱۳۸۰) در حوضه محمدآباد استان گلستان، جوکار (۱۳۸۱) در رود شاپور با شبیه HEC-HMS از جمله مطالعاتی است که کارایی شبیه یاد شده را تأیید می‌کنند. توسعه مناطق شهری نیز اثرات معنی‌داری بر رواناب سطحی آبخیزهای کوچک دارد. به‌طورکلی افزایش مناطق شهری باعث افزایش حجم رواناب، دبی اوج سیل و کاهش زمان تأخیر حوزه آبخیز می‌گردد [9]. هدف از این مطالعه، اولویت‌بندی مناطق موثر بر دبی اوج سیلاب در حوزه آبخیز سد شیخ بهایی با استفاده از مدل هیدرولوژیک HEC-HMS می‌باشد.

¹ Islam & Sado



سد شیح بهائی از نوع وزنی با مصالح سنگ و ساروج است، ارتفاع سد از پی تا روی تاج 28 متر و ارتفاع سد از بستر رودخانه 26 متر و رقوم بستر رودخانه 1881 متر عرض تاج 20 متر طول تاج و عرض سد در کف 30 متر می باشد.

شکل ۱ - موقعیت جغرافیایی منطقه مورد مطالعه در کشور، استان و شهرستان

هواشناسی به مدل استفاده گردید و داده‌های هیدرومتری ایستگاه گبرآباد استفاده شده‌است. شناسایی عوامل موثر بر پتانسیل سیل خیزی و پهنه‌بندی حوضه‌ها از نظر قابلیت تولید رواناب امری ضروری و اجتناب ناپذیر می‌باشد. برای این منظور داده‌های سنجش از دور (RS) و سیستم‌های اطلاعات جغرافیایی (GIS) ابزاری مفید و توانمند برای شناسایی عوامل موثر بر پتانسیل سیل خیزی حوضه‌ها و پهنه‌بندی حوضه‌ها از نظر پتانسیل سیل خیزی می‌باشند. از سوی دیگر ارتباط بین رواناب سطحی، بارندگی و مساحت مناطق غیرقابل نفوذ حوضه به

- مدل هیدرولوژیک HEC-HMS

مدل بارش-رواناب HEC-HMS توسط مرکز هیدرولوژی ایالات متحده آمریکا جهت شبیه‌سازی جریان برای مناطق کوهستانی برنامه‌نویسی شده‌است این مدل از سه زیر مدل تشکیل شده‌است که عبارتند از: ۱- مدل حوضه

- مدل اقلیمی ۳- شاخص‌های کنترل

جهت محاسبه رواناب در زیر حوضه‌ها از روش SCS انتقال رواناب از روش هیدروگراف SCS و از روش زمان تاخیر جهت روندیابی سیل در این مطالعه استفاده شد و همچنین از رگبار SCS جهت وارد کردن داده‌های

: مقدار کاهش دبی خروجی در اثر حذف زیر- حوضه مورد نظر بر حسب مترمکعب بر ثانیه ΔQ_p مساحت هر زیر حوضه بر حسب کیلومتر- A مربع

چگونگی توزیع مکانی مناطق غیرقابل نفوذ در سطح حوزه آبخیز، بستگی دارد که در این میان وجود اراضی شهری در اطراف رودخانه اصلی دارای تأثیرات ویژه‌ای بر افزایش سیل خیزی می‌باشد [15].

نتایج

- کالیبره کردن مدل جهت شبیه‌سازی جریان - بینه‌سازی پارامترهای ورودی پارامترهایی که جهت بهینه‌سازی استفاده شده‌اند عبارتند از: ۱- شماره منحنی ۲- میزان جذب اولیه ۳- زمان تاخیر ۱- شماره منحنی زیر حوضه‌ها از تلفیق نقشه گروه‌های هیدرولوژیکی و کاربری اراضی در محیط برنامه ILWIS نقشه شماره منحنی حوضه تهیه و مقدار شماره منحنی هر واحد هیدرولوژیک (SubBasin) استخراج گردیده و در جدول ۱ نشان داده شده است و به عنوان مقادیر اولیه وارد مدل گردید. با توجه به این‌که ۵ روز قبل از رگبار انتخاب شده هیچ بارشی ثبت نشده است، مقادیر شماره منحنی برای شرایط خشک (I) محاسبه گردید و به مدل وارد شد.

- مکانیابی مناطق موثر بر دبی اوج سیلاب با استفاده از شاخص‌های سیل خیزی در این تحقیق زیر حوضه‌ها بر اساس شاخص‌های سیل خیزی $F\%$ و f اولویت‌بندی شده‌اند.

الف - اولویت‌بندی با استفاده از شاخص $F\%$

$$\%F = \frac{\Delta Q_p}{Q_p} * 100 \quad \text{رابطه (1)}$$

F : سهم مشارکت زیر حوضه‌ها در دبی خروجی کل حوضه به درصد ΔQ_p مقدار کاهش دبی خروجی در اثر حذف زیر حوضه مورد نظر بر حسب مترمکعب بر ثانیه Q_p دبی خروجی کل حوضه بر حسب مترمکعب.

ب - اولویت‌بندی با استفاده از شاخص سیل خیزی f

$$f = \frac{\Delta Q_p}{A} \quad \text{رابطه (2)}$$

جدول ۱- مقادیر شماره منحنی واحدهای هیدرولوژیک منطقه

ردیف	زیر حوضه	SubBasin10	SubBasin9	SubBasin8	SubBasin7	SubBasin6	SubBasin5	SubBasin4	SubBasin3	SubBasin2	SubBasin1	AMC	CN	AMC	CN	AMC	CN	مساحت هرو واحد (km ²)
1	SubBasin1											I	67/8	II	83/1			8/5
2	SubBasin2											I	68/8	II	83/7			7/9
3	SubBasin3											I	66/5	II	82/2			8/9
4	SubBasin4											I	67/2	II	82/7			8/7
5	SubBasin5											I	63/8	II	83/4			9/4
6	SubBasin6											I	68/9	II	83/8			8/5
7	SubBasin7											I	67/2	II	82/7			7/8
8	SubBasin8											I	67/2	II	82/7			5/8
9	SubBasin9											I	66/9	II	82/5			6/5
10	SubBasin10											I	68/5	II	83/5			6/1

:SCS فرمول

$$T_C = \frac{L^{0.8}(S+1)^{0.7}}{1140W_S^{0.5}} \quad (3)$$

که در آن :

Tc : زمان تمرکز بر حسب ساعت؛

L: طول آبراهه اصلی بر حسب فوت؛

S : حداقل پتانسیل ذخیره حوضه بر حسب اینچ؛

و W_s : شیب متوسط وزنی حوضه بر حسب درصد می باشدند.

سازمان حفاظت خاک آمریکا رابطه زیر را

برای محاسبه زمان تأخیر حوضه، پیشنهاد کرده-

است:

$$T_{lag} = 0.6T_C \quad (4)$$

که در آن T_C زمان تمرکز و T_{lag} زمان تأخیر

می باشد.

2- زمان تأخیر

به منظور محاسبه زمان تأخیر، در ابتدا بایستی زمان تمرکز حوضه محاسبه گردد. در این راستا از فرمول SCS جهت محاسبه زمان تمرکز هر یک از زیرحوضه‌ها استفاده گردید و با استفاده از رابطه 4 زمان تمرکز به زمان تأخیر تبدیل شد.

برای تعیین زمان تمرکز می‌توان از هیدروگراف بارش و هیدروگراف رواناب مربوطه استفاده نمود. برای تعیین این پارامتر، فرمول‌های تجربی زیادی نیز ارایه شده که در این مطالعه از روش SCS استفاده شده است.

جدول 2- اطلاعات مربوط به مقادیر زمان تمرکز و زمان تاخیر زیر حوضه‌های منطقه مطالعاتی

زمان تاخیر(t _a). min	زمان تمرکز(t _c). min	زیر حوضه	ردیف	زمان تاخیر(t _a). min	زمان تمرکز(t _c). min	زیر حوضه	ردیف
15/12	25/2	SubBasin6	6	30/6	51	SubBasin1	1
12/6	21	SubBasin7	7	28/44	47/4	SubBasin2	2
20/52	34/2	SubBasin8	8	28/08	46/8	SubBasin3	3
12/96	21/6	SubBasin9	9	23/76	39/6	SubBasin4	4
12/24	20/4	SubBasin10	10	19/44	32/4	SubBasin5	5

به دست آمده بود، به عنوان مقدار اولیه I_a به مدل معرفی گردید.

$$La=0.2S \quad (5)$$

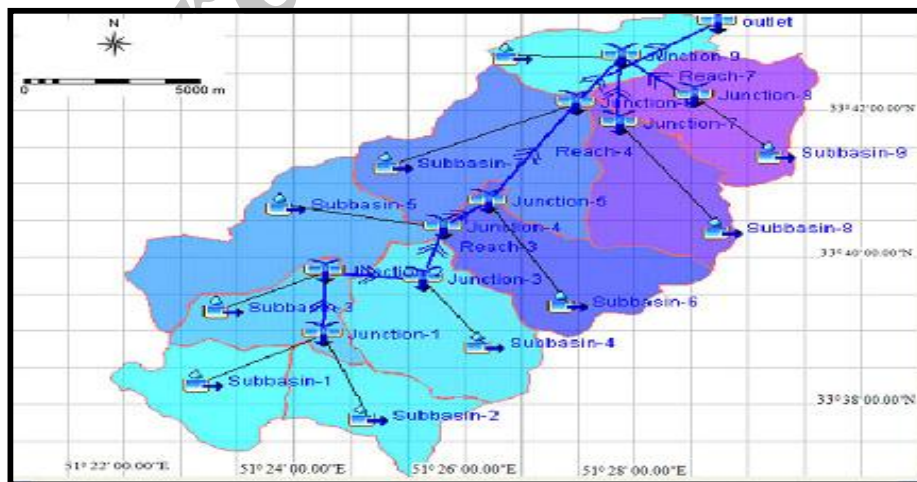
3- مقدار اولیه نفوذ (I_a)

به منظور برآورد مقدار اولیه نفوذ در هر یک از زیرحوضه‌های مطالعاتی، 20 درصد نگهداشت حوضه (S) که با استفاده از شماره منحنی

جدول 3- اطلاعات مربوط به مقادیر نگهداشت اولیه (S) و مقدار نفوذ اولیه (Ia) حوضه‌های منطقه مطالعاتی

ردیف	زیر حوضه	S	Ia(mm)	ردیف	زیر حوضه	S	Ia(mm)
1		120/6	24/1	6	SubBasin6	114/6	22/9
2	SubBasin1	115/5	23/1	7	SubBasin7	124	24/8
3	SubBasin2	128/4	25/7	8	SubBasin8	124	24/8
4	SubBasin3	124	24/8	9	SubBasin9	125/8	25/2
5	SubBasin4	126/6	25/3	10	SubBasin10	117/1	23/2

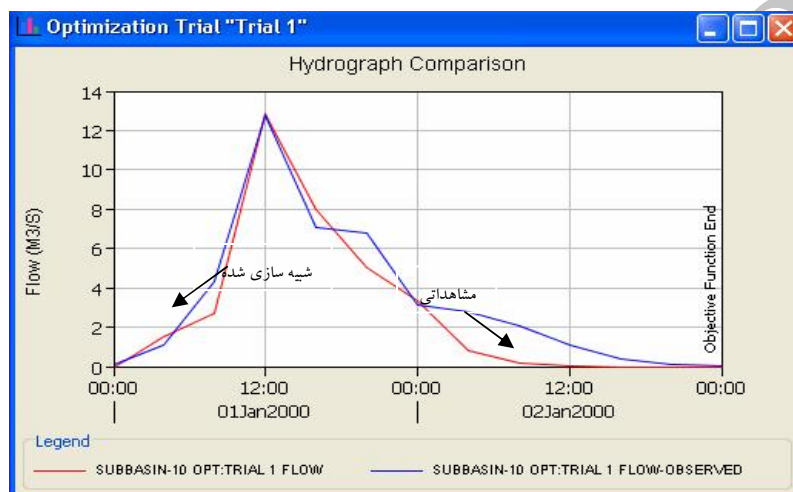
در ادامه، در محیط نرم افزار، حوضه مورد مطالعه ترسیم شد و عناصر هیدرولوژیک برای حوضه مورد نظر تعریف گردید. در شکل 2، حوزه آبخیز سد شیخ بهایی با عناصر هیدرولوژیک نشان داده شده است.



شکل 2- حوزه آبخیز سد شیخ بهایی با استفاده از عناصر هیدرولوژیک در محیط نرم افزار HEC-HMS

مطالعه در RUN₄ تابع خطا به حداقل ممکنه رسید و هیدروگراف مشاهداتی و شبیه‌سازی شده در ایستگاه گبرآباد بیشترین تطابق را با هم نشان دادند. شکل ۳، موقعیت هیدروگراف مشاهداتی و شبیه‌سازی شده را نسبت به هم در ایستگاه مذکور را نشان می‌دهد.

با استفاده از مقادیر اولیه پارامترهای موردنظر، مدل برای اولین بار اجرا گردید (RUN₁) و نتایج به دست آمده در ایستگاه گبرآباد مورد بررسی قرار گرفت و میزان اختلاف هیدروگراف شبیه‌سازی شده و مشاهداتی محاسبه شد. این روند تا زمانی که مقدار تابع خطا بین دو هیدروگراف مذکور به حداقل ممکن بررسد بایستی ادامه پیدا کند. در این



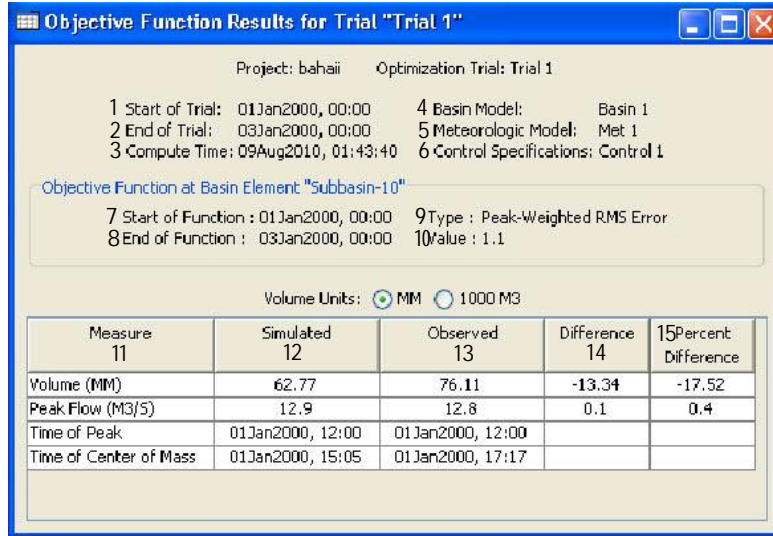
شکل ۳- هیدروگراف مشاهداتی و شبیه‌سازی شده در ایستگاه گبرآباد

مشاهداتی بسیار کم می‌باشد. بنابراین مقادیر ورودی در این مرحله به عنوان مقادیر بهینه پارامترها انتخاب می‌گردند. جدول ۴ مقادیر بهینه شده پارامترها را نشان می‌دهد.

همان‌طورکه در شکل ۳ نشان داده شد، هیدروگراف مشاهداتی و شبیه‌سازی شده برازش خوبی نسبت به هم دارند و با توجه به شکل ۴ تفاوت بین مقدار دبی اوج شبیه‌سازی شده و

جدول ۴- مقادیر بهینه شده پارامترها با استفاده از مدل HEC-HMS

مقادیر بهینه شده			زیر حوضه	ردیف	مقادیر بهینه شده			زیر حوضه	ردیف
CN	t _l	I _a			CN	t _l	I _a		
78/1	25/3	23	SubBasin6	6	85/1	27/8	24/8	SubBasin1	1
69/2	25/25	24/2	SubBasin7	7	86/2	26/14	23/6	SubBasin2	2
78/3	28/7	21/3	SubBasin8	8	70/4	27/28	25/1	SubBasin3	3
84/2	24/3	25/2	SubBasin9	9	84/5	23/78	24/0	SubBasin4	4
87/4	23/2	20	SubBasin10	10	76/2	21/1	25/9	SubBasin5	5



شکل 4 - اطلاعات بدست آمده از واسنجی مدل HEC-HMS

نتایج مدل HEC-HMS با استفاده از مقادیر بینه شده

بعد از کالیبره کردن مدل و وارد کردن مقدار بهینه پارامترهای شماره منحنی، نفوذ اولیه و زمان تاخیر، مقادیر دبی اوج شبیه سازی شده در مدل HEC-HMS مربوط به هر زیر حوضه استخراج گردید. اطلاعات مربوط به دبی های اوج در جدول 4 نشان داده شده است.

توضیح عبارات عنوان شده در خروجی نرم افزار مربوط به واسنجی مدل:

- 1- شروع آزمون
- 2- پایان آزمون
- 3- زمان محاسبه
- 4- مدل حوضه
- 5- مدل اقلیمی
- 6- مشخصات کنترل
- 7- شروع عملکرد
- 8- پایان عملکرد
- 9- نوع: خطای میانگین ریشه مربعات دبی وزنی
- 10- مقدار اندازه گیری
- 11- شبیه سازی شده
- 12- مشاهداتی
- 13- درصد تفاوت
- 14- تفاوت

جدول 5 - مقادیر دبی اوج شبیه سازی زیر حوضه های مطالعاتی در مدل HEC-HMS

ردیف	زیر حوضه	دبی اوج (m ³ /s)	ردیف	زیر حوضه	دبی اوج (m ³ /s)
1		15/18	6		13
2	SubBasin1	15/1	7	SubBasin6	9/6
	SubBasin2			SubBasin7	
3	SubBasin3	12/5	8	SubBasin8	9/5
4	SubBasin4	15/7	9	SubBasin9	16/1
5	SubBasin5	14/2	10	SubBasin10	16/2

در ادامه با استفاده از رابطه ۱ و ۲ مقادیر شاخص‌های سیلخیزی محاسبه گردید و در جداول ۶ و ۷ نشان داده شده است.

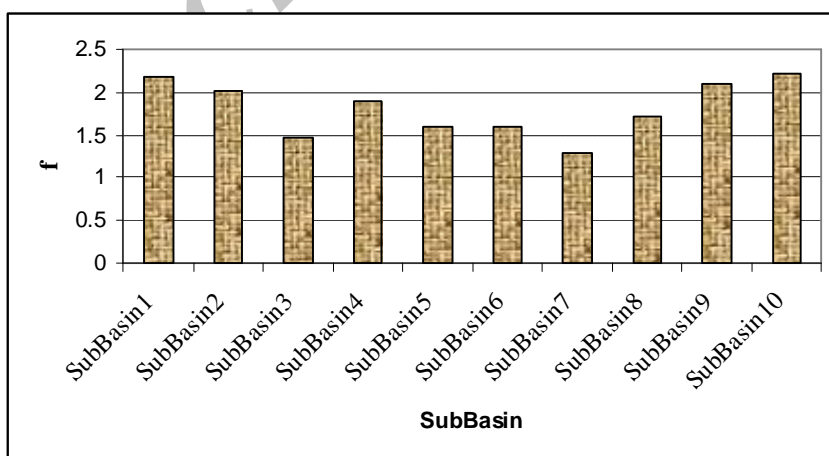
جدول 6 - اطلاعات مربوط به شاخص سیلخیزی F در زیر حوضه‌های مطالعاتی

ردیف	زیر حوضه	% F	مقدار شاخص	ردیف	زیر حوضه	% F	مقدار شاخص
1		16/1		6		13/4	
2	SubBasin1	15/6		7	SubBasin6	10/1	
3	SubBasin2			8	SubBasin7		
4	SubBasin3	13/3		9	SubBasin8	9/8	
5	SubBasin4	16/8		10	SubBasin9	16/4	
	SubBasin5	14/5			SubBasin10		17/17

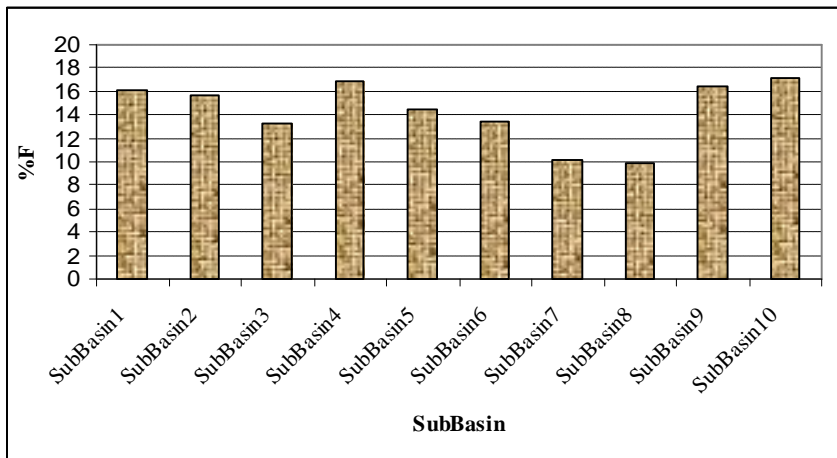
جدول 7 - اطلاعات مربوط به شاخص سیلخیزی F در زیر حوضه‌های مطالعاتی

ردیف	زیر حوضه	f	مقدار شاخص	ردیف	زیر حوضه	f	مقدار شاخص
1		2/18		6		1/6	
2	SubBasin1	2/01		7	SubBasin6	1/29	
3	SubBasin2			8	SubBasin7		
4	SubBasin3	1/47		9	SubBasin8	1/72	
5	SubBasin4	1/89		10	SubBasin9	2/1	
	SubBasin5	1/59			SubBasin10		2/22

نتایج نشان داده زیر حوضه‌های ۱، ۲، ۹ و ۱۰ دارای بیشترین پتانسیل سیلخیزی می‌باشند که در شکل‌های ۵ و ۶ نشان داده شده است.

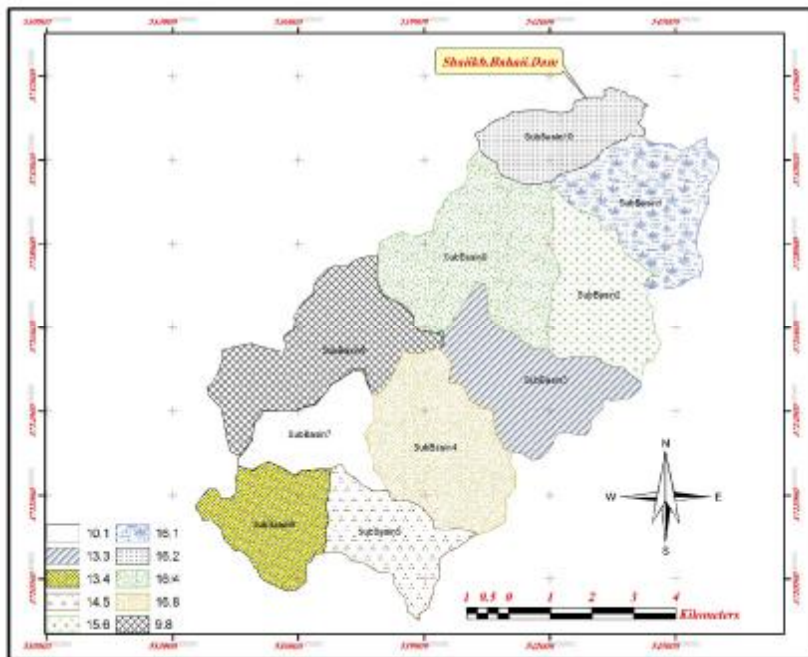


شکل 5 - نمودار میزان شاخص سیلخیزی f در زیر حوضه‌های منطقه مطالعاتی

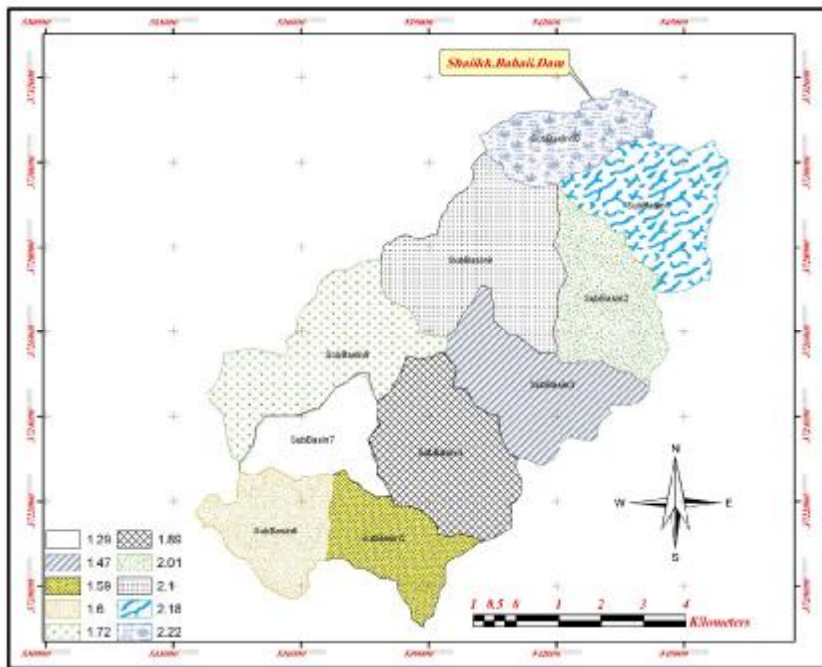


شکل ۶- نمودار میزان شاخص سیل خیزی $F\%$ در زیر حوضه‌های منطقه مطالعاتی

در ادامه با استفاده از مقادیر بدست آمده، نقشه‌های سیل خیزی منطقه با استفاده از دو شاخص کارامد و معتبر در تجزیه و تحلیل پتانسیل سیل خیزی استخراج گردید که در شکل‌های ۷ و ۸ نشان داده شده است.



شکل ۷- نقشه سیل خیزی حوزه آبخیز سد شیخ بهایی با استفاده از شاخص $F\%$



شکل ۸- نقشه سیل خیزی حوزه آبخیز سد شیخ بهایی با استفاده از شاخص f

HEC-HMS دارای بالاترین دبی اوج می‌باشد و در ادامه با توجه به آنالیز پتانسیل سیل خیزی این واحد هیدرولوژیک در اولویت اول مطالعات هیدرولوژی، فعالیت‌های بیولوژیک و مکانیکی قرار دارد و همچنین از بین دو شاخص سیل خیزی استفاده شده نتایج شاخص f با مقادیر شماره منحنی همبستگی بسیار بالایی دارد. شماره منحنی هر منطقه نمایی از شرایط خاک، رطوبت و کاربری اراضی منطقه است که رابطه مستقیم با تولید سیل دارد در نتیجه استفاده از نتایج شاخص f در مطالعات بعدی منطقه می‌تواند درجه صحت را بالاتر ببرد. لازم به یادآوری است نمی‌توان لزوماً تمرکز فعالیت‌های آبخیزداری حوضه را بر روی زیرحوضه ۱۰ قرار داد،

بحث و نتیجه‌گیری

نتایج نشان داد زیر حوضه‌هایی که نزدیک به خروجی منطقه قرار دارند نقش بیشتری در تولید سیل منطقه دارا هستند و اجرای پروژه‌های آبخیزداری در این مناطق از اهمیت خاصی برخوردار می‌باشد. از سوی دیگر نظارت ادارات و نهادهای متولی امور کاربری اراضی و واگذاری اراضی به اشخاص در این منطقه از حوضه می‌باشد دارای دقت بیشتری باشد. زیر حوضه ۱۰ که در انتهای آن، سازه سد شیخ بهایی قرار دارد بایستی در اولویت اول فعالیت‌های مبارزه با سیل و فرسایش و رسوب قرار گیرد زیرا با توجه به دبی‌های اوج شبیه‌سازی شده توسط مدل

تشکر و قدردانی

بدینوسیله نگارندگان بر خود لازم می دانند از حوزه معاونت پژوهشی دانشگاه آزاد اسلامی واحد اردستان در اجرای طرح پژوهشی "بررسی پتانسیل سیل خیزی با استفاده از مدل هیدرولوژیک HEC-HMS و تکنیک‌های GIS&RS آبخیز (مطالعه موردي: حوزه آبخیز سد شیخ بهایی)" و تحقیق حاضر تشکر و قدردانی نمایند.

همچنان‌که با توجه به جدول ۷ و شکل ۵ زیرحوضه‌های ۱، ۹ و ۲ نیز در اولویت‌های بعدی انجام اقدامات حفاظت آب و خاک قرار دارند، از سوی دیگر همزمان می‌باشد شرایط سایر زیرحوضه‌ها نیز از حیث میزان تولید رواناب، تغییرات کاربری، شدت چرا و بهره‌برداری‌های دیگر از عرصه، وقایع فرین بارش رخ داده و سایر مشخصات خاک و پوشش گیاهی در بازه‌های زمانی حداقل یک‌ساله پایش و ارزیابی گردد تا بلکه بدین طریق بتوان از افزایش حساسیت زیرحوضه‌ها و بالا رفتن میزان شاخص سیل خیزی f در آنها جلوگیری کرد.

- ها" ، مرکز آموزش و تحقیقات هلال احمر، ص 12 ، تهران
- 8- شقایقی فلاخ، ر. 1380، " شبیه‌سازی دبی حداقل سیلابی در شاخه‌های فرعی رودخانه با استفاده از مدل HEC-HMS مطالعه موردنی در حوزه‌های آبخیز محمد آباد (استان گلستان)" ، دانشگاه علوم و کشاورزی و منابع طبیعی گرگان، دانشکده مرتع و آبخیزداری، پایان‌نامه کارشناسی ارشد آبخیزداری، 175 ص.
- 9- ملائی، ع، 1381، " تعیین شماره منحنی برای برآورد حجم رواناب با استفاده از سیستم اطلاعات جغرافیایی (GIS) "، مجموعه مقالات ششمین کنفرانس بین‌المللی مهندسی رودخانه، جلد دوم، ص ص 1139 تا 1144، اهواز.
- 10- نصرتی، ع، 1379، " پنهان‌بندی قابلیت سیل خیزی حوزه آبخیز گاوه رود با استفاده از سنجش از دور و GIS "، دانشکده منابع طبیعی، دانشگاه تربیت مدرس،
- 11- Bellal, M., Sillen, X., Zeck, Y., 1996, Coupling GIS with a distributed hydrological model for studying the effect of various urban planning options on rainfall-runoff relationship in urbanised basins, in Kovar, K., Nachtnebel, H.P. (eds.), Application of Geographic Information Systems in Hydrology and Water Resources Management: International Association of Hydrological Sciences, Series of Proceedings and Reports, 235, 99-106.

منابع

- 1- پور رضا، م، شهری 1386 "پنهان‌بندی سیلاب با استفاده از سیستم ساماندهی جغرافیایی (GIS) طرح مطالعاتی: قسمتی از رودخانه قره آگاج در استان فارس" ، همایش GIS ، ص ص 24 ، تهران
- 2- جلالی، ح، 1368، " بررسی سیلاب‌های ایران" ، مجموعه مقالات اولین کنفرانس هیدرولوژی ایران، ص 37-102، انتشارات وزارت نیرو
- 3- جوکار، ج. 1381، " بررسی سیل خیزی زیرحوضه‌های رود شاپور با استفاده از شبیه‌سازی جریانهای سیلابی" ، دانشگاه تربیت مدرس، دانشکده منابع طبیعی و علوم دریایی، پایان‌نامه کارشناسی ارشد آبخیزداری، 126 ص.
- 4- جهان تیغ، ع، 1378، " سیستم پیش‌بینی و هشدار سیلاب در حوزه‌های آبخیز کرسیوند" ، پایان‌نامه کارشناسی ارشد، دانشگاه تهران.
- 5- خسروشاهی، م، قوامی، ش، 1377، " هشدار" ، انتشارات سازمان جنگل‌ها و مراتع کشور، چاپ سوم، ص 108
- 6- خسروشاهی، م. 1380، " تعیین نقش زیرحوضه‌های آبخیز در شدت سیل خیزی حوضه (مطالعه موردنی حوزه آبخیز دماوند)" ، دانشگاه تربیت مدرس، دانشکده علوم انسانی، رساله دکتری جغرافیا، 177 ص.
- 7- دفتری، ب، 1383، " اسکان آسیب دیدگان از حوادث و سوانح و مدیریت ارد و گاه-

- 12-Demayo, A., Steel, A., 1996, Data handling and presentation, *in* hapman,D. (ed), Water Quality Assessments, A Guide to the Use of Biota,Sediments and Water in Environmental Monitoring: London,United Nations ducational, Scientifi c and Cultural Organization,World Health ranization, United ations EnvironmentProgramme, 2nd edition, Chapter 10, 511-612.
- 13-Hjelmtelt, A, 1999., Modeling hydrologic and water quality responses to grass waterway , journal of Hydrologic Engineering, 4(3):251-256
- 14- Miloradov, M., Marjanovic, P., 1991, Geographic information system in environmentally sound river basin development, *in* 3rdRhine-Danube Workshop, Proceedings, 7-8 October: Delft, theNetherlands, Technische Universiteit Delft.Olivera, F., Maidment, D.R., 1998a, HEC-PrePro v.
- 15- Rodel.R.2002. Stability and Variability of Global Runoff as a Reaction to Climatic and Anthropogenic Control Mechanisms, Third International Conference on Water Resources and Environment Research, Dresden University of Technology, pp.264-268
- 16-United States Army Corps of Engineers (USACE), 2000, Hydrologic Modeling System HEC-HMS: Davis, CA, United States Army Corps of Engineers, Hydrologic Engineering Center, Technical Reference Manual, CPD-74B, 149 p.
- 17-United States Department of Agriculture (USDA), 1986, Urban Hydrology for Small Watersheds: Springfi eld, VA, United States Department of Agriculture, Natural Resources Conservation Services, Conservation Engineering Division, Technical Release TR-55